安定化有限要素法による密度成層を考慮した地形風と降雨解析

中央大学 学生員 清水隆博中央大学 正会員 樫山和男

1. はじめに

本論文は、地形風とそれに起因する降雨の解析を高精度にかつ安定に行うための安定化有限要素法を提案するものである、流れの基礎方程式としては、Boussinesq近似を仮定した非圧縮Navier-Stokes 方程式と連続方程式および密度方程式を用いる、離散化手法としてはSUPG/PSPG法1)に基づく安定化有限要素法を用いる。一方、降雨の物理モデルとしては、暖かい雨のモデルである Kessler モデルとしては、暖かい雨のモデルである Kessler モデル2)を用いる、このモデルの基礎方程式は、雲水量と雨水量の保存式で表され、その離散化手法としては、SUPG法に基づく安定化有限要素法を用いる。本手法を2次元半円柱及び3次元実地形を超える安定成層流解析に適用し、本手法の精度及び有効性について検討する。

2. 数值解析手法

(1) 基礎方程式と離散化

非圧縮性粘性流れを考え,密度は鉛直方向に一定な勾配 $(d\rho/dz=\rho_z)$ の基本場 $\rho_B(z)$ をもち,Boussinesq近似を仮定する.そのときの運動方程式,連続式,密度方程式はそれぞれ式 $(1)\sim(3)$ で表される.

運動方程式:

$$\rho_0 \left(\frac{\partial \mathbf{u}}{\partial t} + \mathbf{u} \cdot \nabla \mathbf{u} \right) - \nabla \cdot \sigma + \rho g \mathbf{k} = 0 \tag{1}$$

連続式:

$$\nabla \cdot \mathbf{u} = 0 \tag{2}$$

密度方程式;

$$\frac{\partial \rho}{\partial t} + \mathbf{u} \cdot \nabla \rho = -\mathbf{u} \rho_z \mathbf{k} \tag{3}$$

ここに $,\mathbf{u}$ は流速 $,\rho_0$ は基本場の密度 $,\rho$ は同じ高さ zにおける無限上流での基本場 $\rho_B(z)$ からの密度のずれ ,gは重力加速度 $,\mathbf{k}$ は鉛直方向の単位ベクトルをそれぞれ表している , 構成方程式は , 以下の式で表される ,

$$\sigma = -p\mathbf{I} + 2\mu\epsilon(\mathbf{u}) \tag{4}$$

$$\epsilon(\mathbf{u}) = \frac{1}{2} \left(\nabla \mathbf{u} + (\nabla \mathbf{u})^T \right) \tag{5}$$

ここに,pは圧力, μ は粘性係数を表している.

一方,降雨の基礎方程式にはKessler モデルを用いる. 雲水方程式;

$$\frac{\partial c}{\partial t} + \mathbf{u} \cdot \nabla c + AC + CC - EP - CV = 0$$
 (6)

雨水方程式;

$$\frac{\partial r}{\partial t} + (\mathbf{u} + W\mathbf{k}) \cdot \nabla r - AC - CC + EP = 0$$
 (7)

ここに,c,rは雲水量,雨水量,Wは降雨粒子の降下速度 (式(8))を表している.また,AC,CC,EP,CVはそれぞれ雲水の雨水への転換,雨水による雲水の捕捉,雨水の蒸

Key Word: 安定化有限要素法,地形風解析,密度成層, Kessler モデル

〒112-8551 東京都文京区春日1-13-27 中央大学

TEL 03-3817-1815, E-mail s-tak@civil.chuo-u.ac.jp

発,凝結による変換量を表し,式 $(9) \sim (12)$ によって表される.これらは1 ステップ前の値を代入することにより既知量として扱う.

$$W = -38.3N_0^{-1/8} \cdot r^{1/8} exp(k_0 z/2)$$
 (8)

$$AC = k_1 (c - \alpha) \tag{9}$$

$$CC = k_2 \cdot EN_0^{1/8} \cdot cr^{7/8} exp(k_0 z/2)$$
 (10)

$$EP = k_3 N_0^{7/20} \cdot cr^{13/20} \tag{11}$$

$$CV = \mathbf{uk} \left(A + Bz \right) \tag{12}$$

ここに, N_0 はマーシャル・パルマ 分布の係数 (10^7m^{-4}) , k_0 は空気の気温低減率 $(10^{-4}m^{-1})$, k_1 ~ k_3 は定数 $(k_1=10^{-3},k_2=6.94\times10^{-4},k_3=1.93\times10^{-6})$, α は転換の臨界値 $(0.5gm^{-3})$,Eは捕捉率(1.0),zは高さ(m),A,Bは定数 $(A=3\times10^{-3}gm^{-4},B=-3\times10^{-7}gm^{-5})$ をそれぞれ表している.

また,地表降雨強度R[mm/hour]は,雨水量から次のように与えられる.

$$R = 138N_0^{-1/8} \cdot r^{9/8} \tag{13}$$

境界条件としては,以下に示すDirichlet型,Neumann型境界条件が与えられる.

$$\mathbf{u} = \mathbf{g} \quad on \ \Gamma_g$$
 (14)

$$\mathbf{n} \cdot \sigma = \mathbf{h} \quad on \ \Gamma_h \tag{15}$$

ただし、降雨解析においてはDirichlet型境界条件のみが課せられる.

(2) 安定化有限要素法

基礎方程式系に対して, $SUPG / PSPG 法^{1}$ に基づく安定化有限要素法を適用することにより,以下の重み付き残差式が得られる.

運動方程式;

$$\begin{split} & \int_{\Omega} \mathbf{w} \cdot \left(\frac{\partial \mathbf{u}}{\partial t} + \mathbf{u} \cdot \nabla \mathbf{u} \right) d\Omega + \int_{\Omega} \frac{1}{\rho_0} \epsilon(\mathbf{w}) : \sigma \, d\Omega \\ & + \int_{\Omega} q \nabla \cdot \mathbf{u} \, d\Omega + \int_{\Omega} \mathbf{w} \cdot \frac{1}{\rho_0} \rho g \mathbf{k} \, d\Omega \\ & + \sum_{e=1}^{n_{el}} \int_{\Omega^e} \left\{ \tau_{supg1} \mathbf{u} \cdot \nabla \mathbf{w} + \tau_{pspg} \nabla q \right\} \\ & \cdot \left\{ \frac{\partial \mathbf{u}}{\partial t} + \mathbf{u} \cdot \nabla \mathbf{u} - \frac{1}{\rho_0} \nabla \cdot \sigma + \frac{1}{\rho_0} \rho g \mathbf{k} \right\} d\Omega = 0 \ (16) \end{split}$$

密度方程式

$$\int_{\Omega} \mathbf{w} \cdot \left(\frac{\partial \rho}{\partial t} + \mathbf{u} \cdot \nabla \rho + \mathbf{u} \rho_z \mathbf{k} \right) d\Omega
+ \sum_{e=1}^{n_{el}} \int_{\Omega_e} \tau_{supg2} \mathbf{u} \cdot \nabla \mathbf{w}
\cdot \left(\frac{\partial \rho}{\partial t} + \mathbf{u} \cdot \nabla \rho + \mathbf{u} \rho_z \mathbf{k} \right) d\Omega = 0$$
(17)

雲水方程式;

$$\int_{\Omega} \mathbf{w} \cdot \left(\frac{\partial c}{\partial t} + \mathbf{u} \cdot \nabla c + f_c \right) d\Omega
+ \sum_{e=1}^{n_{el}} \int_{\Omega_e} \tau_{supg2} \mathbf{u} \cdot \nabla \mathbf{w}
\cdot \left(\frac{\partial c}{\partial t} + \mathbf{u} \cdot \nabla c + f_c \right) d\Omega = 0$$
(18)

雨水方程式;

$$\int_{\Omega} \mathbf{w} \cdot \left(\frac{\partial r}{\partial t} + (\mathbf{u} + W \mathbf{k}) \cdot \nabla r + f_r \right) d\Omega
+ \sum_{e=1}^{n_{el}} \int_{\Omega_e} \tau_{supg2} \mathbf{u} \cdot \nabla \mathbf{w}
\cdot \left(\frac{\partial r}{\partial t} + (\mathbf{u} + W \mathbf{k}) \cdot \nabla r + f_r \right) d\Omega = 0 \quad (19)$$

ここに , 安定化パラメータ $\tau_{supg1}, \tau_{supg2}, \tau_{pspg}$ は以下のように定義される .

$$\tau_{supg1} = \left[\left(\frac{2}{\Delta t} \right)^2 + \left(\frac{2||\mathbf{u}||}{h_e} \right)^2 + \left(\frac{4\nu}{h_e^2} \right)^2 \right]^{-\frac{1}{2}} \tag{20}$$

$$\tau_{pspg} = \tau_{supg1} \tag{21}$$

$$\tau_{supg2} = \left[\left(\frac{2}{\Delta t} \right)^2 + \left(\frac{2||\mathbf{u}||}{h_e} \right)^2 \right]^{-\frac{1}{2}} \tag{22}$$

ここに , ν は粘性係数を表している . 式 (18),(19) における f_c , f_r はそれぞれ雲水方程式 , 雨水方程式における雲物理の変換量 (AC,CC,EP,CV) をまとめたものである .

式(16)~(19) に対して,2 次元問題では線形三角形 1 次要素,3 次元問題では線形四面体 1 次要素を用いて補間を行うことにより有限要素方程式を得る.

時間方向の離散化において,時間微分 $(\partial \mathbf{u}/\partial t)$ は以下のように差分近似する.

$$\frac{\partial \mathbf{u}}{\partial t} \doteq \frac{\mathbf{u}_{n+1} - \mathbf{u}_n}{\Delta t} \tag{23}$$

ここに, Δt は微小時間増分量である.時間微分の精度と安定性をコントロールするパラメータである θ には,本研究では2 次精度である $\theta=0.5$ の Crank-Nicolson 法を用いている.なお,圧力,連続式は陰的に扱っている.また,密度,雲水量,雨水量についても同様に Crank-Nicolson 法により離散化している.

3. 2次元半円柱を超える地形性降雨解析

地形性降雨解析問題への本手法の有効性を検討するため,2次元半円柱問題を例に流れ解析,降雨解析を行った.

解析領域,境界条件は ${
m Fig.1}$ のように設定した.解析に用いた有限要素分割の節点数は 10,360,要素数は 20,044 (最小分割幅 $24.14{
m m}$) である.流入流速として $u^*=2z^{0.25}{
m m}/{
m sec}$ を与えた.降雨解析の境界条件として,上層,流入側からの降水粒子の供給はなく $({
m r}=0)$,流入側からは常に一定の飽和水蒸気が供給される $({
m c}=0)$ とする.なお,微小時間増分量,成層度はそれぞれ $\Delta{
m t}=0.5{
m sec}$,K = 0.02,0.6,1.0 とした

 ${f Fig. 2,3,4}$ に風が吹きはじめてから1 時間後における流線図と雲水量,雨水量の分布図を示す(K = 0.02). ${f Fig. 2}$ より,安定した流れ場の解析結果を得ることができている

ことが分かる.また,Fig.3,4より,円柱上空の上昇流により雲が発生し移流していき,雨水量についても雲水量の変化に対応したものになっていることが分かる.

また,Fig.5にFig.1中のA,B点での地表降雨強度の時刻暦を示した.円柱上空の上昇流の影響と円柱後方の渦の影響がA点,B点の地表降雨強度に現れている.

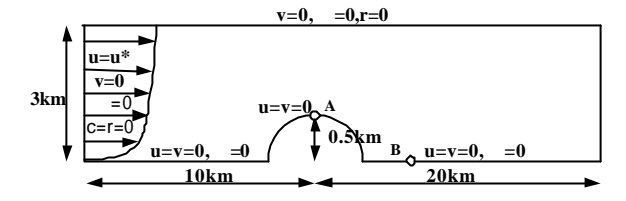


Fig.1 Numerical example

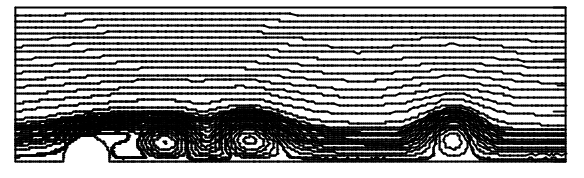


Fig.2 Computed stream line(time=1hour)



Fig.3 Computed cloud water content(time=1hour)

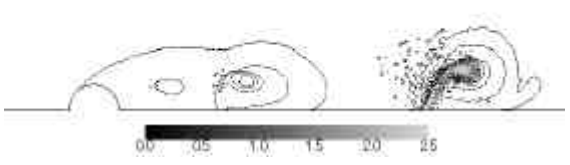


Fig.4 Computed rain water content(time=1hour)

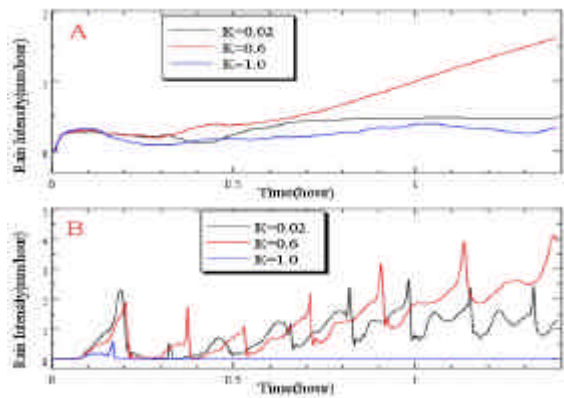


Fig.5 Rainfall intensity

4. 結論

本論文により安定化有限要素法による密度成層を考慮した地形風と降雨解析手法を提案した.数値解析により,本手法は安定で定性的に妥当な解を与えることを示した. 降雨解析の有効性の検討が今後の課題である.

参考文献

- T.Tezduyar, 'Stabilized finite element formulations for incompressible flow computations', Advances in Applied Mechanics, 28, pp.1-44, 1991.
- Kessler, E., Models of microphysical parameters and processes', Meteorological Monographs, Vol. 10, pp. 26-31, 1969.